

### III-301 発破による砂質土の締固めについて(その2)

関西大学工学部 正会員 ○桶見晴重  
関西大学工学部 正会員 谷口敬郎

#### 1. 緒言

ゆるく堆積した砂質地盤を締め固める方法として、動的荷重が非常に有効であることが実証されており、これを用いた数種の工法が開発され、一部は相当な施工実績をあげている。これらの工法は、振動源としてはほとんどが機械力によるものである。

本研究は、動的荷重源として爆破振動を利用し、この振源による砂質土の沈下特性について、模型地盤を作製して実験的に検討を行った。この結果、地下水位置、発破位置によつて沈下量が異なり、それに伴つて各発破における間隙水圧量および地盤振動の減衰状態も異なることが明らかになつたのでここに報告する。

#### 2. 実験方法

模型地盤は、 $2.23 \times 2.76\text{ m}$ 、深さ $0.7\text{ m}$ のコンクリート製砂槽に乾燥した砂を層厚が約 $60\text{ cm}$ となるように詰め、砂層下部より水を除々に注入し、地下水層を形成した。地下水位は砂層底面より $51.4\text{ cm}$ 、 $46.1\text{ cm}$ 、 $38.2\text{ cm}$ 、 $31.9\text{ cm}$ の4段階に変化せられた。なお、用いた砂は最大粒径 $9.52\text{ mm}$ 、 $G_s=2.645$ 、 $U_c=4.58$ である。発破の振動源としては、起爆薬 $0.42\text{ g}$ 、添装薬 $0.45\text{ g}$ の6号瞬発電気雷管を用いた。電気雷管は図-1に示すよ

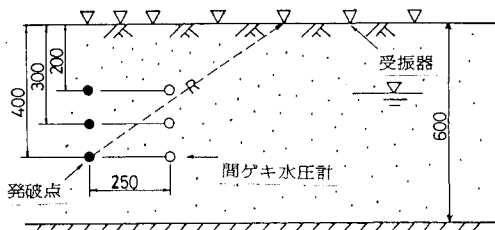


図-1 模型地盤の断面図 単位 (mm)

うに砂層表面から $20\text{ cm}$ 、 $30\text{ cm}$ 、 $40\text{ cm}$ の深さに装薬した。ここで、これらの発破条件をそれぞれ $E_{20}$ 、 $E_{30}$ 、 $E_{40}$ とする。各発破後、表面以下は発破点を中心とし直角に交わる4方向にそれぞれ水平距離で $0, 5, 10, 15, 20, 30, 40, 60, 80\text{ cm}$ の位置で測定した。間隙水圧計は図-1のようく設置した。発破振動の計測は、速度型対振器を発破点から $5, 20, 40, 60, 80, 100\text{ cm}$ の位置に設置し、ベクトルケーブルを通じて電磁オシログラフに波形を記録した。なお、発破振動の解析には直距離 $R$ で整理した。

#### 3. 実験結果および考察

図-2は、発破点 $30\text{ cm}$ において発破したときの表面沈下状態を示したものである。このときの初期地下水位は $38.2\text{ cm}$ であった。この図より、砂層表面は、ほぼクレーター状に変形している。この傾向は、発破位置、地下水位位置が変わつてもほぼ同じ形状変化を示している。しかし、沈下した体積量は、各条件下によつて異なる。沈下した体積量を求めるために、図-2から沈下した断面積 $S$ と沈下が生じた範囲 $a$ を求め、図-3に示すような $S/a$ の面積および底辺 $a$ の三角形を描く。つぎに、この三角形を発破点を軸とした回転体として、式(1)によつて沈下体積 $V_S$ を求めた。

$$V_S = \int_0^a |(2A/a^2 \cdot x^2 - 2A/a)| dx \quad \dots \dots (1)$$

$a$ : 影響範囲,  $A = S/2$

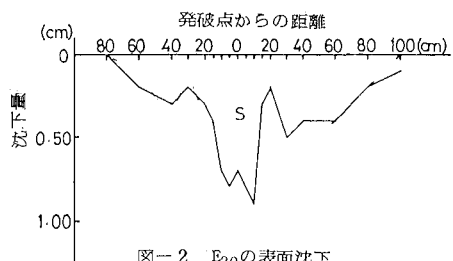


図-2  $E_{30}$ の表面沈下

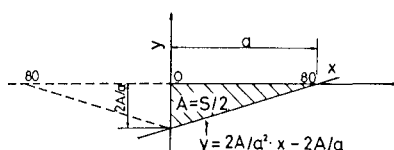


図-3 沈下体積の計算法

図-4は、式(1)によつて求めた沈下体積 $V_S$ と発破位置との関係を地下水位別に表わしたものである。この図より、乾燥状態以外の条件下では、増加割合は異なるが、発破位置が深くなるほど大きな体積が得られている。す

なわち、地下水が存在する場合、発破位置が深いほど効率のよい発破条件と考えられるが、ある一定の限界が存在するものと思われる。

図-4は、初期地下水位  $H_w$  と初期砂層厚  $H_g$  の比  $H_w/H_g$  と沈下体積  $V_d$  との関係を発破条件別に表わしたものである。この図より、発

破位置が異なるにもかかわらず、各発破条件下とも  $H_w/H_g \approx 0.8$  付近で沈下体積が最大となる。その値はほぼ同じ値が得られている。しかし変化の割合は発破位置によって異なり、 $E_{40}$  が最大値と最小値の差が最も少なく、比較的変化の割合は少ない。図-4、5より、砂の物理特性および含水量が一定の場合、発破によって得られる沈下体積量は、発破の深さ、地下水水面位置によって大きく変化することが明らかとなる。すなわち、 $E_{40}$ 、 $H_w/H_g \approx 0.8$  の条件下が最も効率のよい発破条件と考えられる。

図-6は、発破時の間隙水圧の模式図である。ここで最大の値を  $U_d$  とする。 $U_d$  は静的条件下の間隙水圧と異なり、発破により生じた動的水圧と考えられる。図-7は、深さ30cm地点で測定された  $U_d$  と  $H_w/H_g$  との関係を  $E_{40}$ 、 $E_{30}$  について示したものである。ただし動的間隙水圧は、初期有効応力との比  $U_d/E_0$  として表わしている。この図から明らかのように、 $H_w/H_g \approx 0.8$  付近で  $U_d/E_0$  が最大となる。これは図-5で示した最大の沈下体積が得られる地盤条件と一緒に致しており、さらに  $H_w/H_g$  の変化に対して  $U_d/E_0$  もほぼ同じ変化状態となる。以上の結果より、 $U_d/E_0$  が大きいほど、得られる沈下体積は大きくなることが判明した。

図-8は、 $H_w/H_g = 0.79$ における各発破条件別に示した発破振動(変位速度)の減衰曲線である。これより、変位速度  $V$  ( $\text{km}/\text{s}$ ) は式(2)に近似される。

$$V = C \cdot R^{-n} \quad (\text{ただし } R: \text{発破位置からの直距離}, C: \text{定数}, n: \text{減衰定数}) \quad \cdots (2)$$

式(2)によると求められた減衰定数  $n$  と沈下体積  $V_d$  との関係を示したのが図-9である。この図より、 $n$  が大きくなると  $V_d$  は小さくなる傾向がみられる。すなわち、発破振動の減衰が著しい地盤ほど、得られる沈下体積は少ないといえる。また図-9より、発破位置が地下水水面より上部に存在する場合は、減衰定数の値に関係なく、得られる沈下体積は、発破位置が飽和砂層内に位置する場合と比べて、小さくなっている。非効率的な発破条件と考えられる。しかし、この点に関してはさらに詳細な実験が必要とすると思われる。

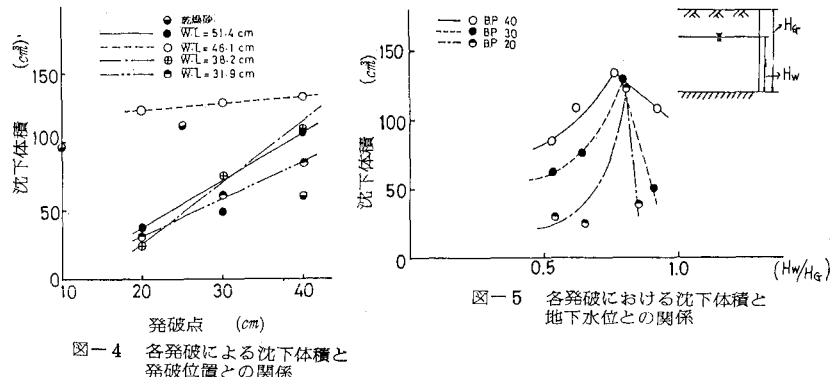


図-4 各発破による沈下体積と発破位置との関係

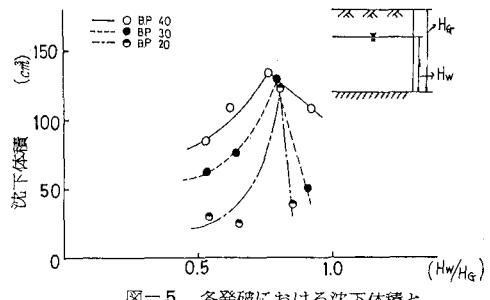


図-5 各発破における沈下体積と地下水位との関係

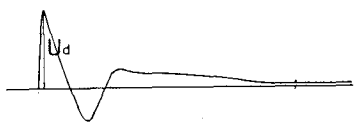


図-6 間隙水圧の模式図

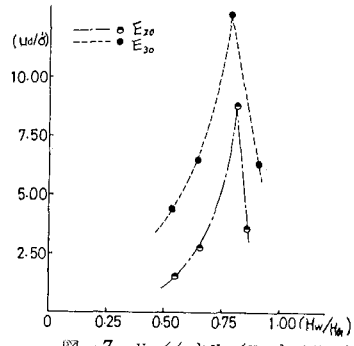


図-7  $U_d/E_0$  と  $H_w/H_g$  との関係

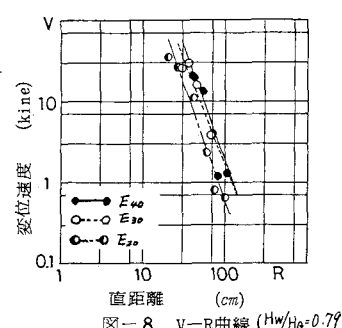


図-8  $V$ - $R$  曲線 ( $H_w/H_g = 0.79$ )

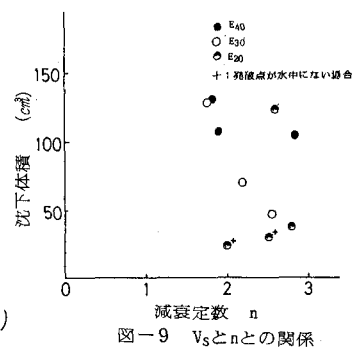


図-9  $V_d$  と  $n$  との関係